

Eingabe: Farbmétrisches Natürliches-Reflektiv-System CNS18

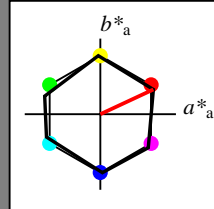
für Buntton $h^* = lab^*h = 25/360 = 0.069$

LAB*LCH, LAB*NCH

D65: Buntton R

LCH*Ma: 57 77 25

olv*Ma: 1.0 0.0 0.0



CNS18; adaptierte CIELAB-Daten

	$L^*=L_a^*$	a_a^*	b_a^*	$C_{ab,a}^*$	$h_{ab,a}^*$
RMa	56.7	70.15	32.71	77.4	25
JMa	56.7	-2.69	77.35	77.4	92
GMa	56.7	-73.6	23.92	77.4	162
G50BMa	56.7	-71.24	-30.23	77.4	203
BMa	56.7	2.7	-77.34	77.4	272
B50RMa	56.7	63.4	-44.38	77.4	325
NMa	18.01	0.0	0.0	0.0	0
WMa	95.41	0.0	0.0	0.0	0
RCIE	39.92	58.74	27.99	65.07	25
JCIE	81.26	-2.88	71.56	71.62	92
GCIE	52.23	-42.41	13.6	44.55	162
BCIE	30.57	1.41	-46.46	46.49	272

CIELAB-Helligkeit L^*

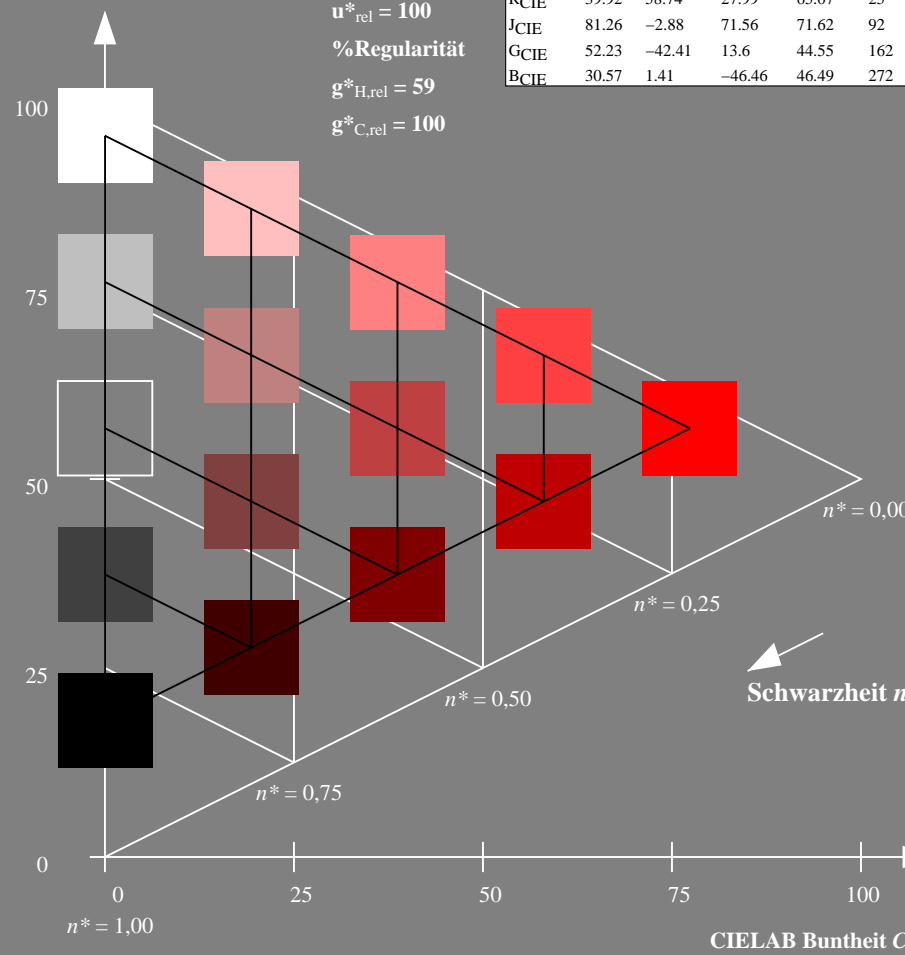
%Umfang

$u_{rel}^* = 100$

%Regularität

$g_{H,rel}^* = 59$

$g_{C,rel}^* = 100$



VG430-7, 5 stufige Reihen für konstanten CIELAB Buntton $25/360 = 0.069$ (links)

Ausgabe: Farbmétrisches Offset-Reflektiv-System ORS18

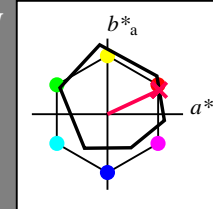
für Buntton $h^* = lab^*h = 25/360 = 0.069$

LAB*LCH, LAB*NCH

D65: Buntton O

LCH*Ma: 48 76 25

olv*Ma: 1.0 0.0 0.32



ORS18; adaptierte CIELAB-Daten

	$L^*=L_a^*$	a_a^*	b_a^*	$C_{ab,a}^*$	$h_{ab,a}^*$
OMa	47.94	65.39	50.52	82.63	38
YMa	90.37	-10.26	91.75	92.32	96
LMa	50.9	-62.83	34.96	71.91	151
CMa	58.62	-30.34	-45.01	54.3	236
VMa	25.72	31.1	-44.4	54.22	305
MMa	48.13	75.28	-8.36	75.74	354
NMa	18.01	0.0	0.0	0.0	0
WMa	95.41	0.0	0.0	0.0	0
RCIE	39.92	58.66	26.98	64.57	25
JCIE	81.26	-2.16	67.76	67.79	92
GCIE	52.23	-42.25	11.76	43.87	164
BCIE	30.57	1.15	-46.84	46.86	271

CIELAB-Helligkeit L^*

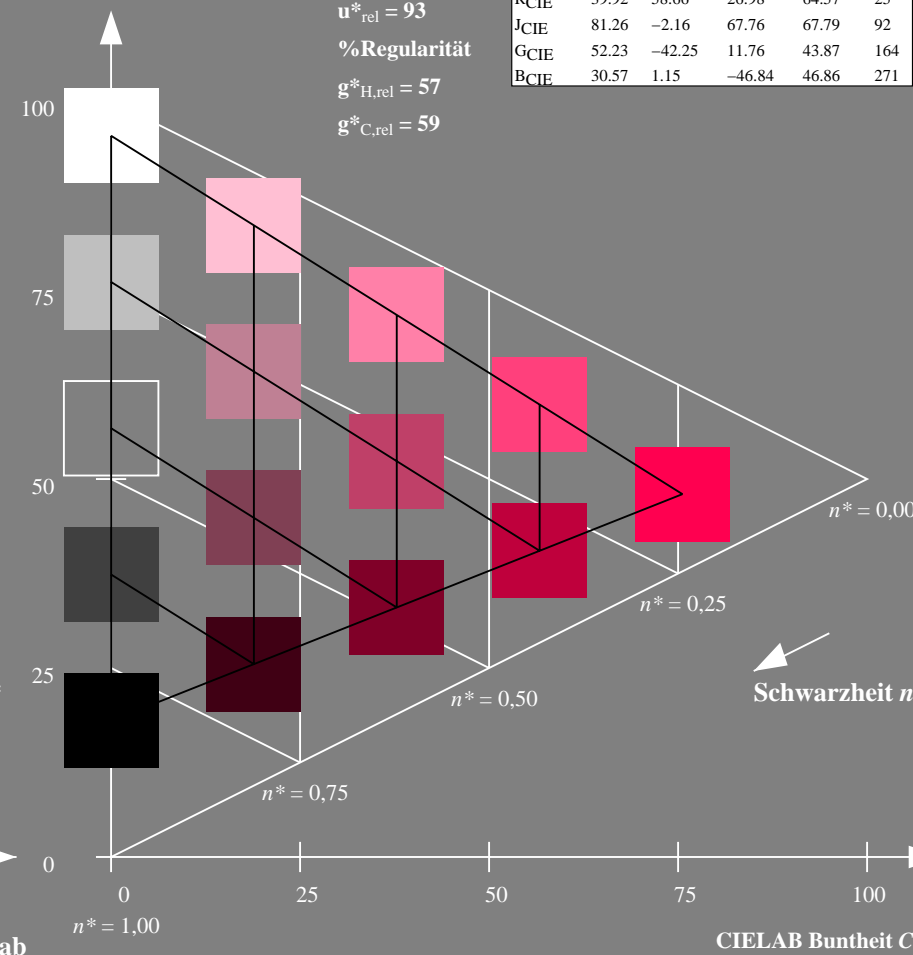
%Umfang

$u_{rel}^* = 93$

%Regularität

$g_{H,rel}^* = 57$

$g_{C,rel}^* = 59$



5 stufige Reihen für konstanten CIELAB Buntton $25/360 = 0.069$ (rechts)

BAM-Prüfvorlage VG43; Farbmétrik-Systeme CNS18 & ORS18input: olv* setrgbcolor

D65: Koordinatensysteme; 5stufige Farbreihen für 10 Bunttöne output: no change compared to input

Eingabe: Farbmétrisches Natürliches-Reflektiv-System CNS18

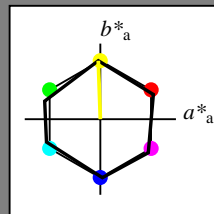
für Buntton $h^* = lab^*h = 92/360 = 0.256$

LAB*LCH, LAB*NCH

D65: Buntton J

LCH*Ma: 57 77 92

olv*Ma: 1.0 1.0 0.0



CNS18; adaptierte CIELAB-Daten

	$L^*=L_a^*$	a_a^*	b_a^*	$C_{ab,a}^*$	$h_{ab,a}^*$
RMa	56.7	70.15	32.71	77.4	25
JMa	56.7	-2.69	77.35	77.4	92
GMa	56.7	-73.6	23.92	77.4	162
G50B _{Ma}	56.7	-71.24	-30.23	77.4	203
B _{Ma}	56.7	2.7	-77.34	77.4	272
B50R _{Ma}	56.7	63.4	-44.38	77.4	325
N _{Ma}	18.01	0.0	0.0	0.0	0
W _{Ma}	95.41	0.0	0.0	0.0	0
RCIE	39.92	58.74	27.99	65.07	25
JCIE	81.26	-2.88	71.56	71.62	92
GCIE	52.23	-42.41	13.6	44.55	162
BCIE	30.57	1.41	-46.46	46.49	272

CIELAB-Helligkeit L^*

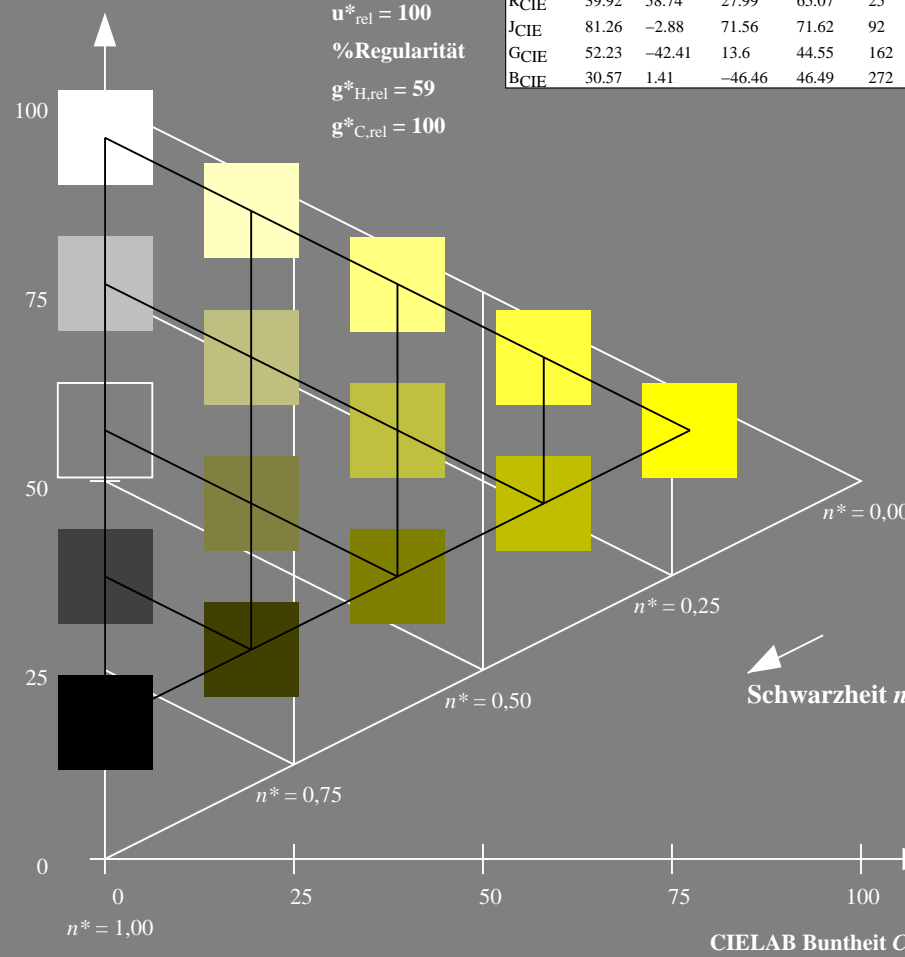
%Umfang

$u_{rel}^* = 100$

%Regularität

$g_{H,rel}^* = 59$

$g_{C,rel}^* = 100$



VG430-7, 5 stufige Reihen für konstanten CIELAB Buntton $92/360 = 0.256$ (links)

Ausgabe: Farbmétrisches Offset-Reflektiv-System ORS18

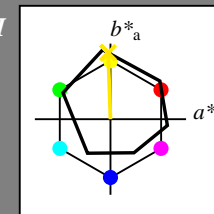
für Buntton $h^* = lab^*h = 92/360 = 0.256$

LAB*LCH, LAB*NCH

D65: Buntton Y

LCH*Ma: 86 88 92

olv*Ma: 1.0 0.9 0.0



ORS18; adaptierte CIELAB-Daten

	$L^*=L_a^*$	a_a^*	b_a^*	$C_{ab,a}^*$	$h_{ab,a}^*$
OMa	47.94	65.39	50.52	82.63	38
YMa	90.37	-10.26	91.75	92.32	96
LMa	50.9	-62.83	34.96	71.91	151
CMa	58.62	-30.34	-45.01	54.3	236
VMa	25.72	31.1	-44.4	54.22	305
MMa	48.13	75.28	-8.36	75.74	354
N _{Ma}	18.01	0.0	0.0	0.0	0
W _{Ma}	95.41	0.0	0.0	0.0	0
RCIE	39.92	58.66	26.98	64.57	25
JCIE	81.26	-2.16	67.76	67.79	92
GCIE	52.23	-42.25	11.76	43.87	164
BCIE	30.57	1.15	-46.84	46.86	271

CIELAB-Helligkeit L^*

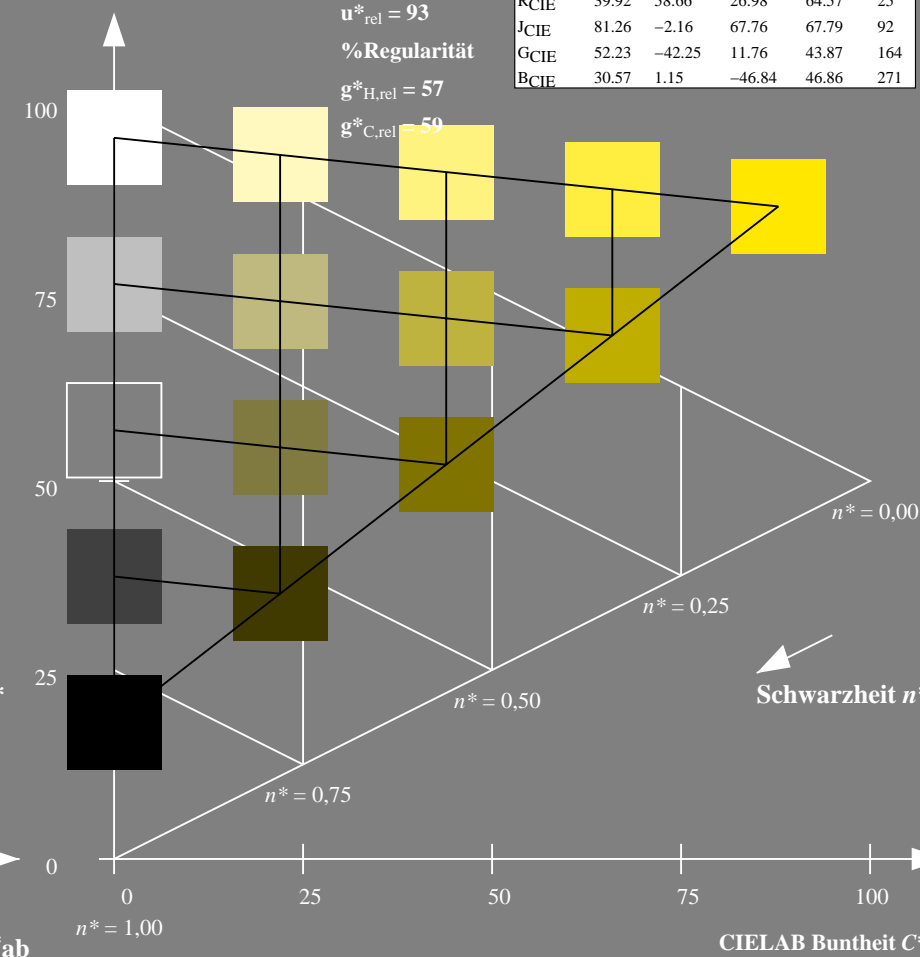
%Umfang

$u_{rel}^* = 93$

%Regularität

$g_{H,rel}^* = 57$

$g_{C,rel}^* = 59$



5 stufige Reihen für konstanten CIELAB Buntton $92/360 = 0.256$ (rechts)

BAM-Prüfvorlage VG43; Farbmétrik-Systeme CNS18 & ORS18input: olv* setrgbcolor

D65: Koordinatensysteme; 5stufige Farbreihen für 10 Bunttöne output: no change compared to input

Eingabe: Farbmétrisches Natürliches-Reflektiv-System CNS18

für Buntton $h^* = lab^*h = 162/360 = 0.45$

LAB*LCH, LAB*NCH

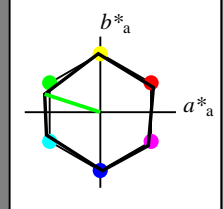
D65: Buntton G

LCH*Ma: 57 77 162

olv*Ma: 0.0 1.0 0.0

CNS18; adaptierte CIELAB-Daten

	$L^*=L_a^*$	a_a^*	b_a^*	$C_{ab,a}^*$	$h_{ab,a}^*$
RMa	56.7	70.15	32.71	77.4	25
JMa	56.7	-2.69	77.35	77.4	92
GMa	56.7	-73.6	23.92	77.4	162
G50B _{Ma}	56.7	-71.24	-30.23	77.4	203
B _{Ma}	56.7	2.7	-77.34	77.4	272
B50R _{Ma}	56.7	63.4	-44.38	77.4	325
N _{Ma}	18.01	0.0	0.0	0.0	0
W _{Ma}	95.41	0.0	0.0	0.0	0
RCIE	39.92	58.74	27.99	65.07	25
JCIE	81.26	-2.88	71.56	71.62	92
GCIE	52.23	-42.41	13.6	44.55	162
BCIE	30.57	1.41	-46.46	46.49	272



CIELAB-Helligkeit L^*

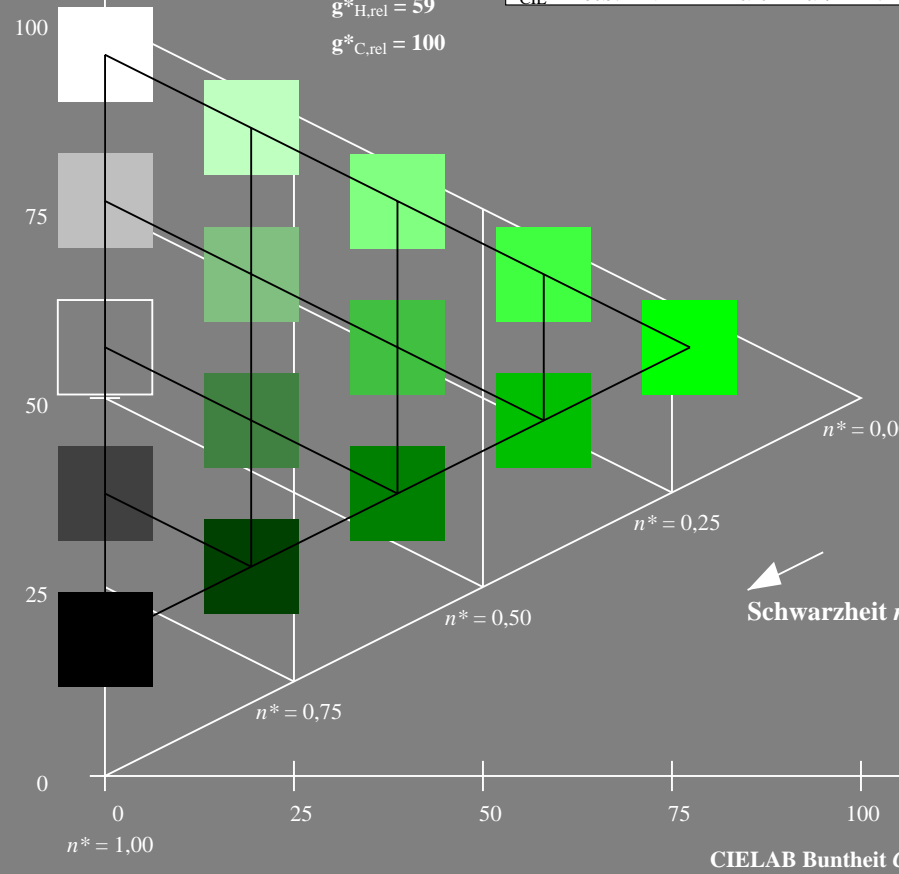
%Umfang

$u_{rel}^* = 100$

%Regularität

$g_{H,rel}^* = 59$

$g_{C,rel}^* = 100$



VG430-7, 5 stufige Reihen für konstanten CIELAB Buntton 162/360 = 0.45 (links)

Ausgabe: Farbmétrisches Offset-Reflektiv-System ORS18

für Buntton $h^* = lab^*h = 162/360 = 0.45$

LAB*LCH, LAB*NCH

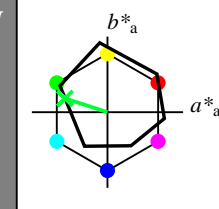
D65: Buntton L

LCH*Ma: 53 59 162

olv*Ma: 0.0 1.0 0.21

ORS18; adaptierte CIELAB-Daten

	$L^*=L_a^*$	a_a^*	b_a^*	$C_{ab,a}^*$	$h_{ab,a}^*$
OMa	47.94	65.39	50.52	82.63	38
YMa	90.37	-10.26	91.75	92.32	96
LMa	50.9	-62.83	34.96	71.91	151
CMa	58.62	-30.34	-45.01	54.3	236
VMa	25.72	31.1	-44.4	54.22	305
MMa	48.13	75.28	-8.36	75.74	354
N _{Ma}	18.01	0.0	0.0	0.0	0
W _{Ma}	95.41	0.0	0.0	0.0	0
RCIE	39.92	58.66	26.98	64.57	25
JCIE	81.26	-2.16	67.76	67.79	92
GCIE	52.23	-42.25	11.76	43.87	164
BCIE	30.57	1.15	-46.84	46.86	271



CIELAB-Helligkeit L^*

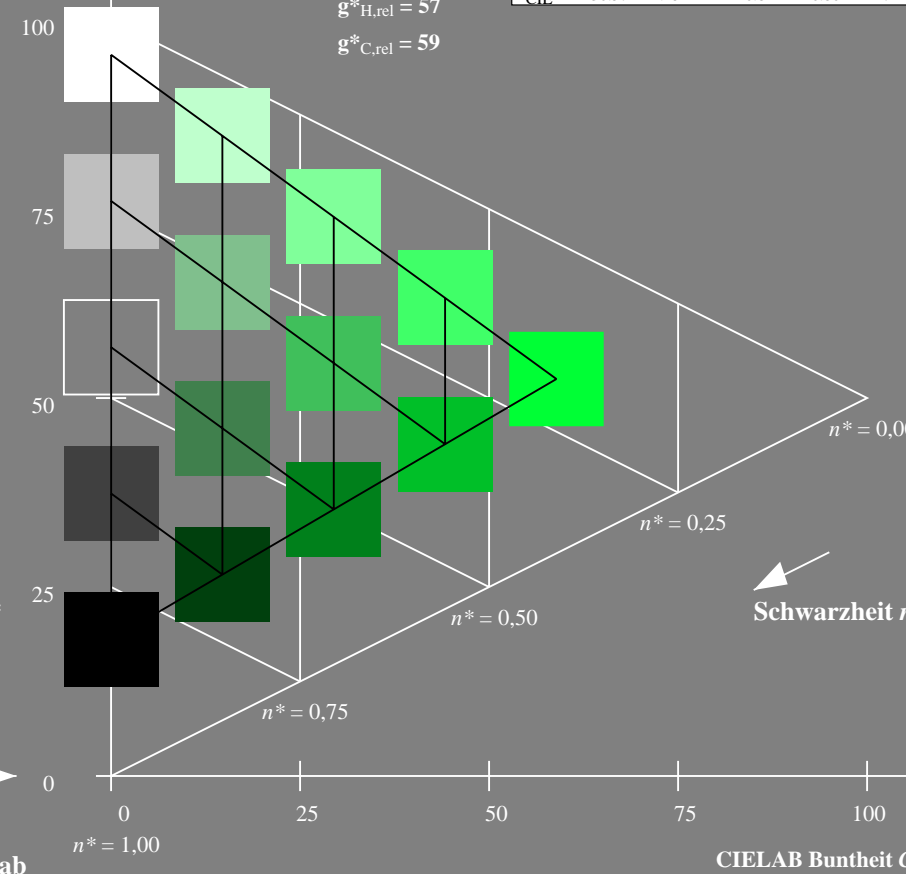
%Umfang

$u_{rel}^* = 93$

%Regularität

$g_{H,rel}^* = 57$

$g_{C,rel}^* = 59$



5 stufige Reihen für konstanten CIELAB Buntton 162/360 = 0.45 (rechts)

BAM-Prüfvorlage VG43; Farbmétrik-Systeme CNS18 & ORS18input: olv* setrgbcolor

D65: Koordinatensysteme; 5stufige Farbreihen für 10 Bunttöne output: no change compared to input

Eingabe: Farbmétrisches Natürliches-Reflektiv-System CNS18

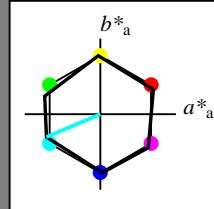
für Buntton $h^* = lab^*h = 203/360 = 0.564$

LAB*LCH, LAB*NCH

D65: Buntton G50B

LCH*Ma: 57 77 203

olv*Ma: 0.0 1.0 1.0



CNS18; adaptierte CIELAB-Daten

	$L^*=L_a^*$	a_a^*	b_a^*	$C_{ab,a}^*$	$h_{ab,a}^*$
RMa	56.7	70.15	32.71	77.4	25
JMa	56.7	-2.69	77.35	77.4	92
GMa	56.7	-73.6	23.92	77.4	162
G50B _{Ma}	56.7	-71.24	-30.23	77.4	203
B _{Ma}	56.7	2.7	-77.34	77.4	272
B50R _{Ma}	56.7	63.4	-44.38	77.4	325
N _{Ma}	18.01	0.0	0.0	0.0	0
W _{Ma}	95.41	0.0	0.0	0.0	0
RCIE	39.92	58.74	27.99	65.07	25
JCIE	81.26	-2.88	71.56	71.62	92
GCIE	52.23	-42.41	13.6	44.55	162
BCIE	30.57	1.41	-46.46	46.49	272

CIELAB-Helligkeit L^*

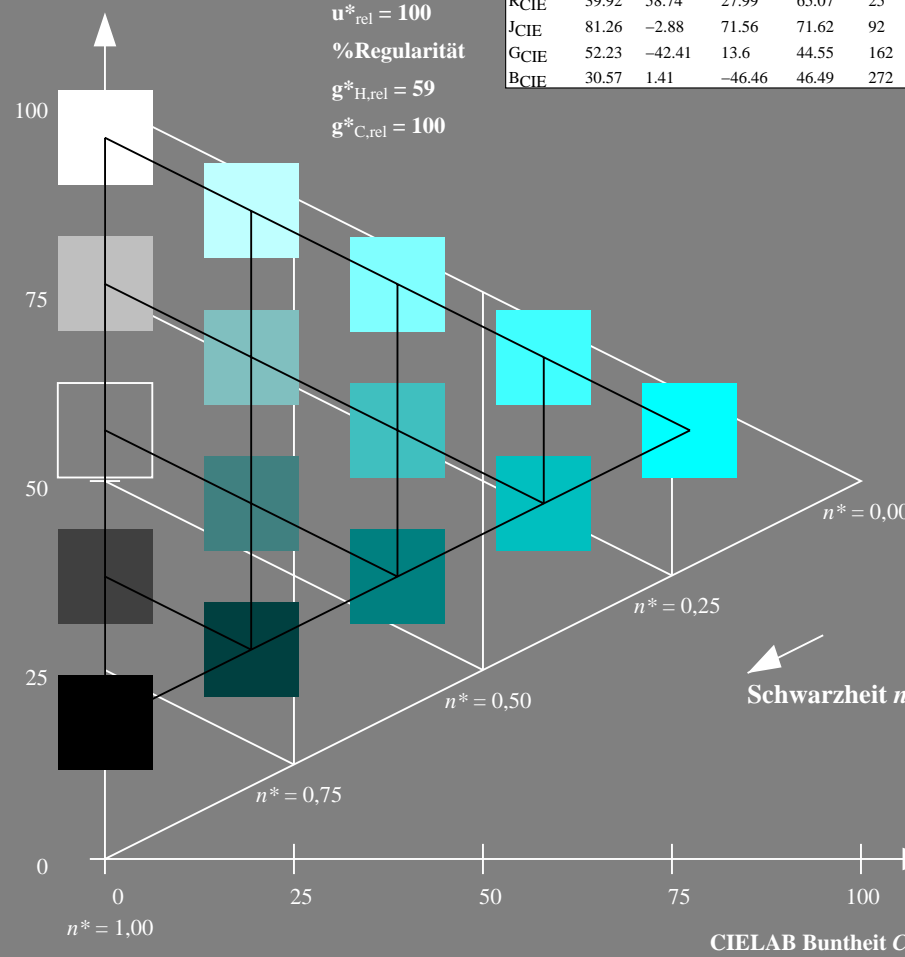
%Umfang

$u_{rel}^* = 100$

%Regularität

$g_{H,rel}^* = 59$

$g_{C,rel}^* = 100$



VG430-7, 5 stufige Reihen für konstanten CIELAB Buntton 203/360 = 0.564 (links)

Ausgabe: Farbmétrisches Offset-Reflektiv-System ORS18

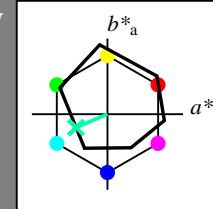
für Buntton $h^* = lab^*h = 203/360 = 0.564$

LAB*LCH, LAB*NCH

D65: Buntton C

LCH*Ma: 56 45 203

olv*Ma: 0.0 1.0 0.66



ORS18; adaptierte CIELAB-Daten

	$L^*=L_a^*$	a_a^*	b_a^*	$C_{ab,a}^*$	$h_{ab,a}^*$
OMa	47.94	65.39	50.52	82.63	38
YMa	90.37	-10.26	91.75	92.32	96
LMa	50.9	-62.83	34.96	71.91	151
CMa	58.62	-30.34	-45.01	54.3	236
VMa	25.72	31.1	-44.4	54.22	305
MMa	48.13	75.28	-8.36	75.74	354
N _{Ma}	18.01	0.0	0.0	0.0	0
W _{Ma}	95.41	0.0	0.0	0.0	0
RCIE	39.92	58.66	26.98	64.57	25
JCIE	81.26	-2.16	67.76	67.79	92
GCIE	52.23	-42.25	11.76	43.87	164
BCIE	30.57	1.15	-46.84	46.86	271

CIELAB-Helligkeit L^*

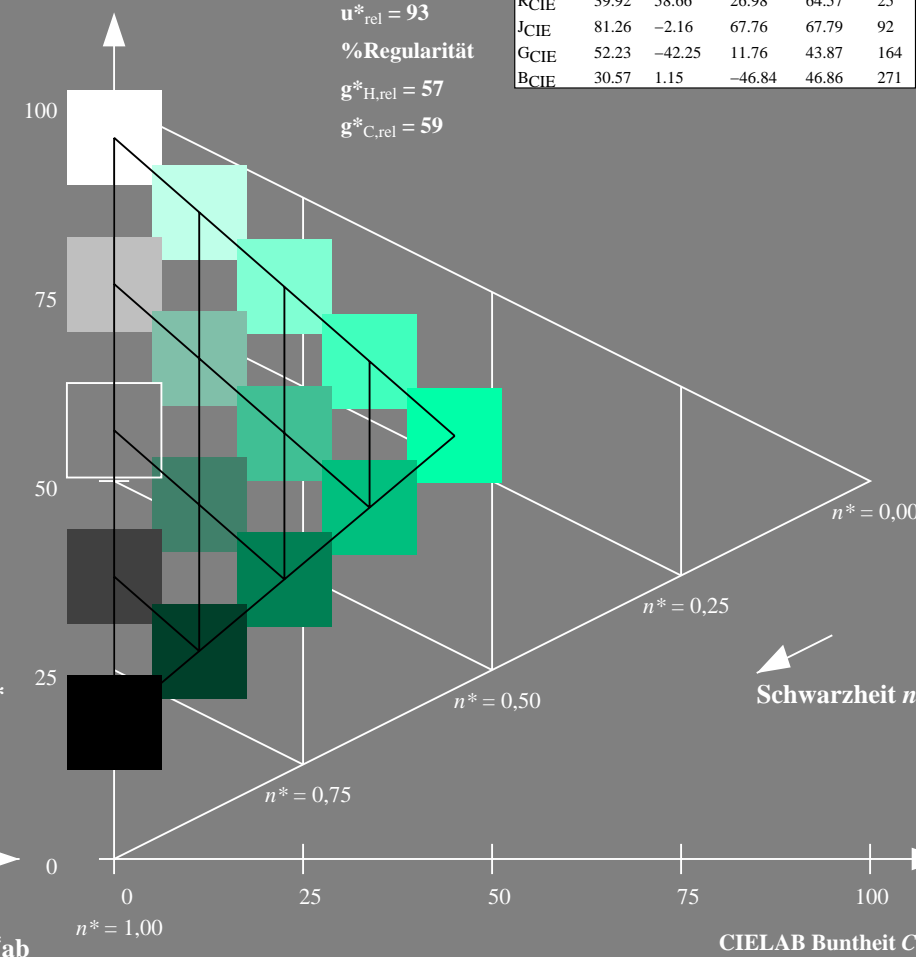
%Umfang

$u_{rel}^* = 93$

%Regularität

$g_{H,rel}^* = 57$

$g_{C,rel}^* = 59$



5 stufige Reihen für konstanten CIELAB Buntton 203/360 = 0.564 (rechts)

BAM-Prüfvorlage VG43; Farbmétrik-Systeme CNS18 & ORS18input: olv* setrgbcolor

D65: Koordinatensysteme; 5stufige Farbreihen für 10 Bunttöne output: no change compared to input

Eingabe: Farbmétrisches Natürliches-Reflektiv-System CNS18

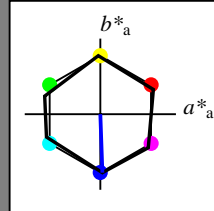
für Buntton $h^* = lab^*h = 272/360 = 0.756$

LAB*LCH, LAB*NCH

D65: Buntton B

LCH*Ma: 57 77 272

olv*Ma: 0.0 0.0 1.0



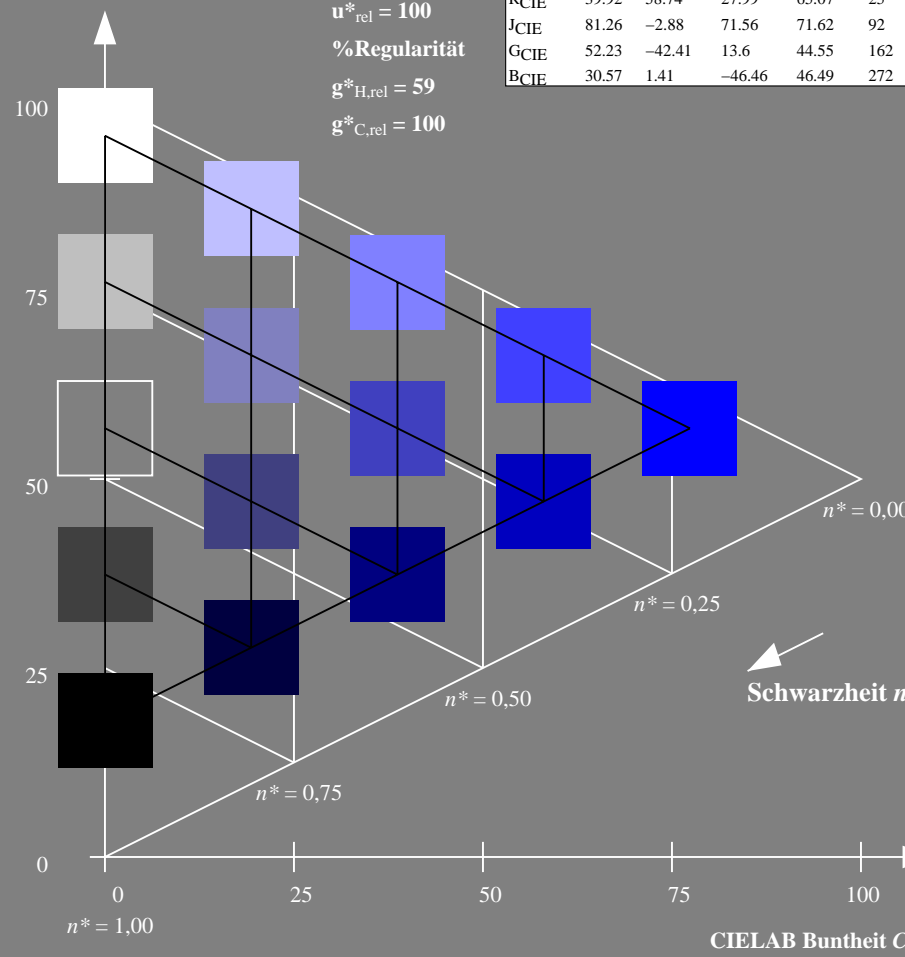
CNS18; adaptierte CIELAB-Daten					
	L^*_{a}	a^*_{a}	b^*_{a}	$C^*_{\text{ab,a}}$	$h^*_{\text{ab,a}}$
RMa	56.7	70.15	32.71	77.4	25
JMa	56.7	-2.69	77.35	77.4	92
GMa	56.7	-73.6	23.92	77.4	162
G50B _{Ma}	56.7	-71.24	-30.23	77.4	203
B _{Ma}	56.7	2.7	-77.34	77.4	272
B50R _{Ma}	56.7	63.4	-44.38	77.4	325
N _{Ma}	18.01	0.0	0.0	0.0	0
W _{Ma}	95.41	0.0	0.0	0.0	0
RCIE	39.92	58.74	27.99	65.07	25
JCIE	81.26	-2.88	71.56	71.62	92
GCIE	52.23	-42.41	13.6	44.55	162
BCIE	30.57	1.41	-46.46	46.49	272

CIE LAB-Helligkeit L^*

%Umfang

$$\mathbf{u}_{\text{rel}}^* = 100$$

%Regularität

$$g^*_{H,rel} = 59$$
$$g^*_{C,rel} = 100$$
VG430-7, 5 stufige Reihen für konstanten CIELAB Buntton $272/360 = 0.756$ (links)

BAM-Prüfvorlage VG43; Farbmimetrik-Systeme CIE1931 & CIE1964input: *ol** *setrgbcolor*

D65: Koordinatensysteme; 5stufige Farbreihen für 10 Bunttöne output: *no change compared to input*

Ausgabe: Farbmetrisches Offset-Reflektiv-System ORS18

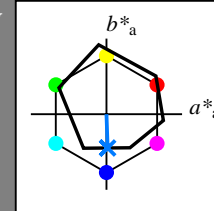
für Buntton $h^* = lab^*h = 272/360 = 0.756$

*LAB*LCH, LAB*NCH*

D65: Buntton V

LCH*Ma: 42 45 272

olv*Ma: 0.0 0.48 1.0



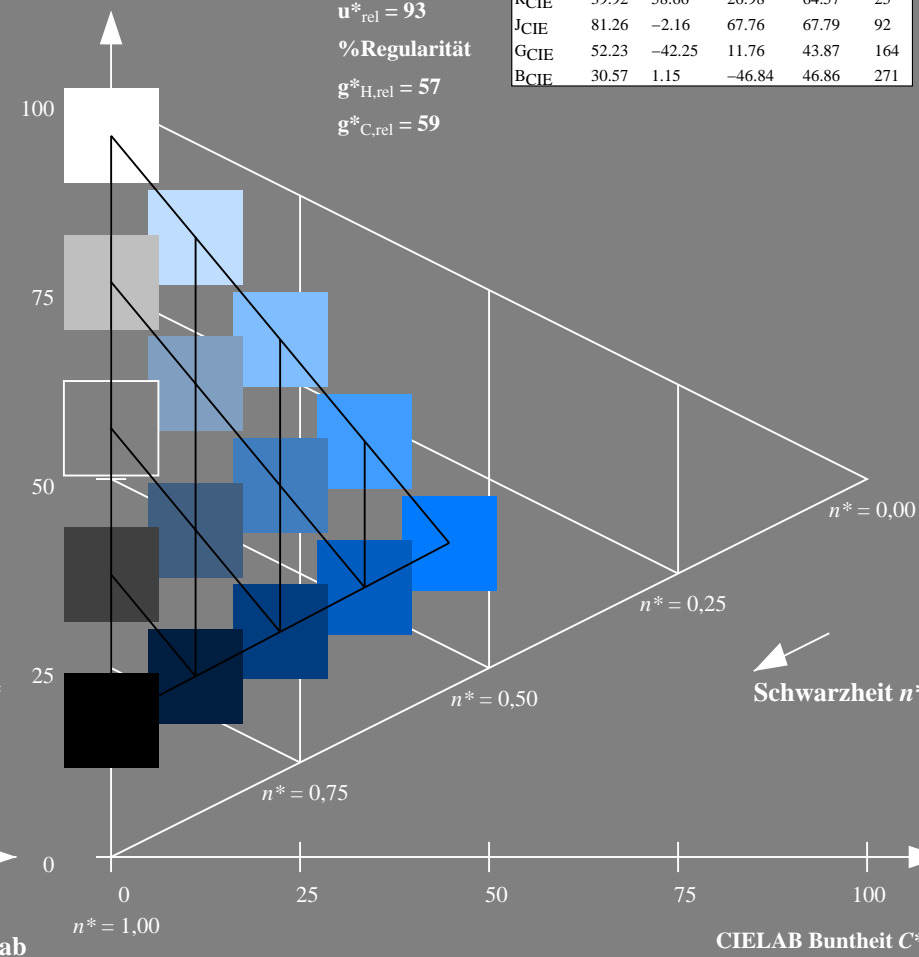
ORS18; adaptierte CIELAB-Daten					
	L^*_{*a}	a^*_{*a}	b^*_{*a}	$C^*_{*ab,a}$	$h^*_{*ab,a}$
OMa	47.94	65.39	50.52	82.63	38
YMa	90.37	-10.26	91.75	92.32	96
LMa	50.9	-62.83	34.96	71.91	151
CMa	58.62	-30.34	-45.01	54.3	236
VMa	25.72	31.1	-44.4	54.22	305
MMa	48.13	75.28	-8.36	75.74	354
NMa	18.01	0.0	0.0	0.0	0
WMa	95.41	0.0	0.0	0.0	0
RCIE	39.92	58.66	26.98	64.57	25
JCIE	81.26	-2.16	67.76	67.79	92
GCIE	52.23	-42.25	11.76	43.87	164
BCIE	30.27	1.15	-46.84	46.86	271

CIELAB-Helligkeit L^*

%Umfang

$$\mathbf{u}_{\text{rel}}^* = 93$$

%Regularität

$$g^*_{H,rel} = 57$$
$$g^*_{C,rel} = 59$$
5 stufige Reihen für konstanten CIELAB Buntton $272/360 = 0.756$ (rechts)

Eingabe: Farbmétrisches Natürliches-Reflektiv-System CNS18

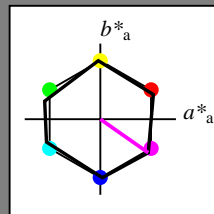
für Buntton $h^* = lab^*h = 325/360 = 0.903$

LAB*LCH, LAB*NCH

D65: Buntton B50R

LCH*Ma: 57 77 325

olv*Ma: 1.0 0.0 1.0



CNS18; adaptierte CIELAB-Daten

	$L^*=L_a^*$	a_a^*	b_a^*	$C_{ab,a}^*$	$h_{ab,a}^*$
RMa	56.7	70.15	32.71	77.4	25
JMa	56.7	-2.69	77.35	77.4	92
GMa	56.7	-73.6	23.92	77.4	162
G50B _{Ma}	56.7	-71.24	-30.23	77.4	203
B _{Ma}	56.7	2.7	-77.34	77.4	272
B50R _{Ma}	56.7	63.4	-44.38	77.4	325
N _{Ma}	18.01	0.0	0.0	0.0	0
W _{Ma}	95.41	0.0	0.0	0.0	0
RCIE	39.92	58.74	27.99	65.07	25
JCIE	81.26	-2.88	71.56	71.62	92
GCIE	52.23	-42.41	13.6	44.55	162
BCIE	30.57	1.41	-46.46	46.49	272

CIELAB-Helligkeit L^*

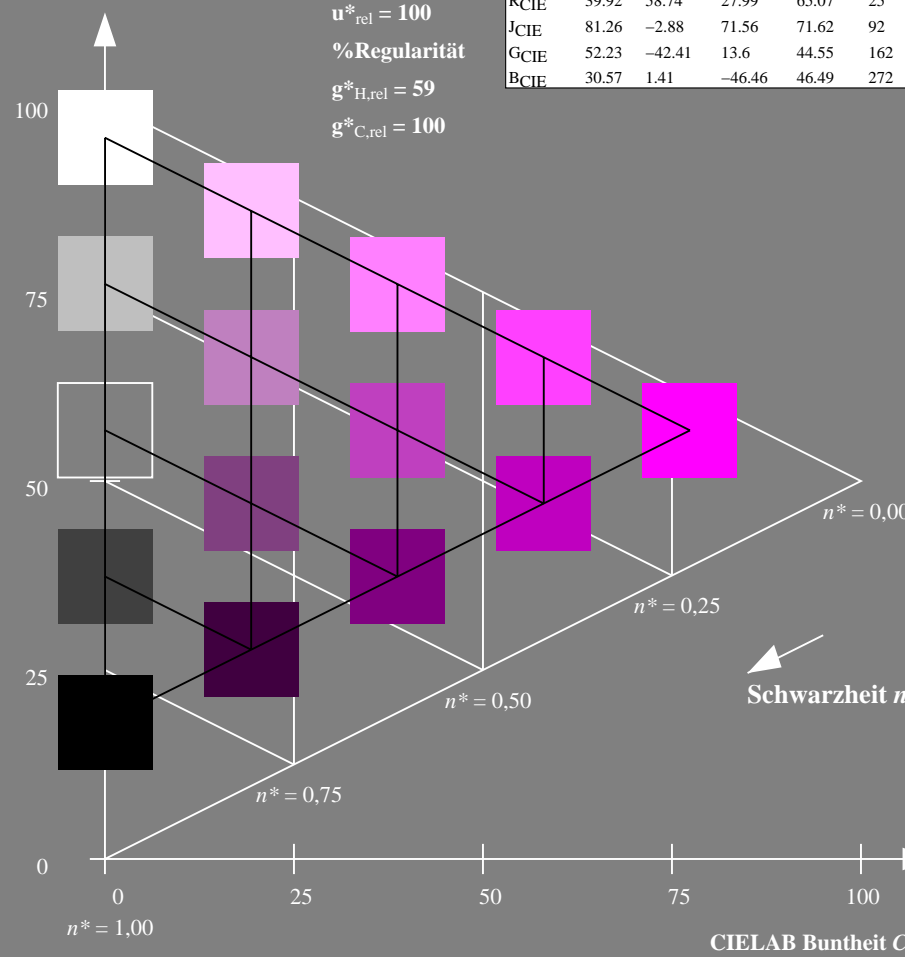
%Umfang

$u_{rel}^* = 100$

%Regularität

$g_{H,rel}^* = 59$

$g_{C,rel}^* = 100$



VG430-7, 5 stufige Reihen für konstanten CIELAB Buntton 325/360 = 0.903 (links)

Ausgabe: Farbmétrisches Offset-Reflektiv-System ORS18

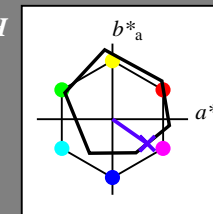
für Buntton $h^* = lab^*h = 325/360 = 0.903$

LAB*LCH, LAB*NCH

D65: Buntton M

LCH*Ma: 33 56 325

olv*Ma: 0.34 0.0 1.0



ORS18; adaptierte CIELAB-Daten

	$L^*=L_a^*$	a_a^*	b_a^*	$C_{ab,a}^*$	$h_{ab,a}^*$
OMa	47.94	65.39	50.52	82.63	38
YMa	90.37	-10.26	91.75	92.32	96
LMa	50.9	-62.83	34.96	71.91	151
CMa	58.62	-30.34	-45.01	54.3	236
VMa	25.72	31.1	-44.4	54.22	305
MMa	48.13	75.28	-8.36	75.74	354
N _{Ma}	18.01	0.0	0.0	0.0	0
W _{Ma}	95.41	0.0	0.0	0.0	0
RCIE	39.92	58.66	26.98	64.57	25
JCIE	81.26	-2.16	67.76	67.79	92
GCIE	52.23	-42.25	11.76	43.87	164
BCIE	30.57	1.15	-46.84	46.86	271

CIELAB-Helligkeit L^*

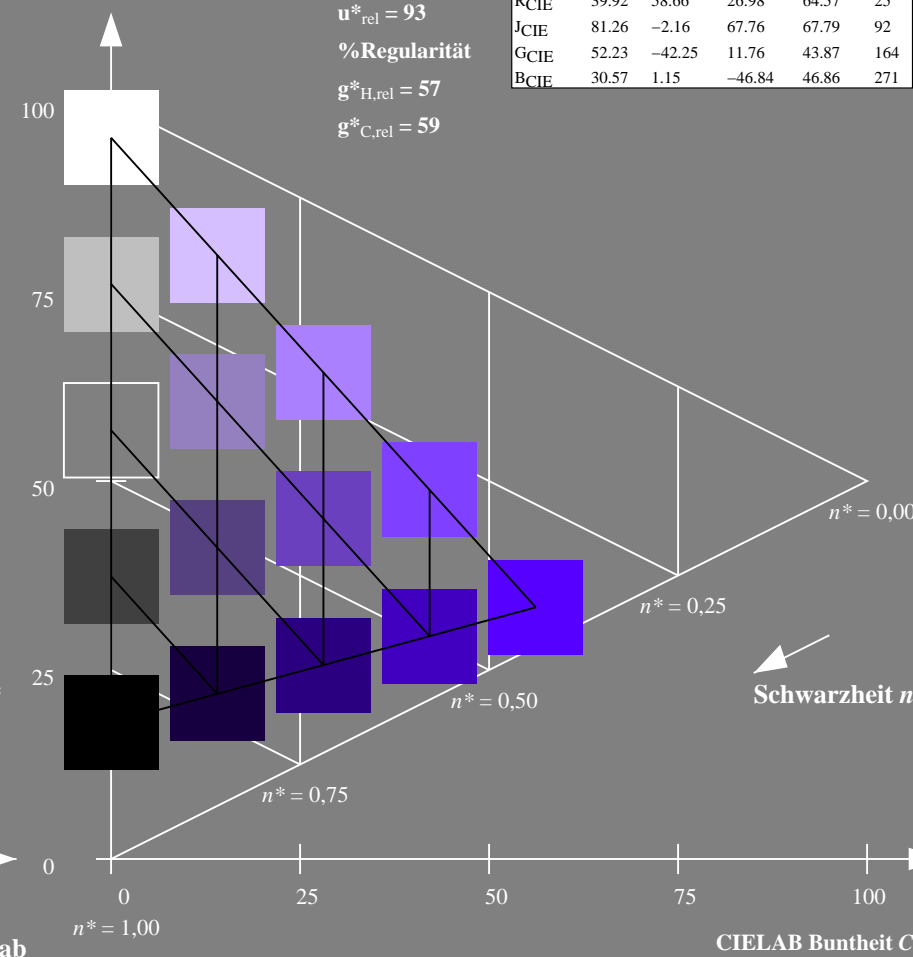
%Umfang

$u_{rel}^* = 93$

%Regularität

$g_{H,rel}^* = 57$

$g_{C,rel}^* = 59$



5 stufige Reihen für konstanten CIELAB Buntton 325/360 = 0.903 (rechts)

BAM-Prüfvorlage VG43; Farbmétrik-Systeme CNS18 & ORS18input: olv* setrgbcolor

D65: Koordinatensysteme; 5stufige Farbreihen für 10 Bunttöne output: no change compared to input

Eingabe: Farbmétrisches Natürliches-Reflektiv-System CNS18

für Buntton $h^* = lab^*h = 25/360 = 0.071$

LAB*LCH, LAB*NCH

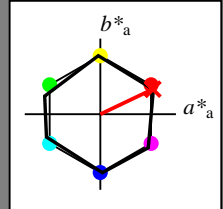
D65: Buntton R

LCH*Ma: 57 77 25

olv*Ma: 1.0 0.01 0.0

CNS18; adaptierte CIELAB-Daten

	$L^*=L_a^*$	a_a^*	b_a^*	$C_{ab,a}^*$	$h_{ab,a}^*$
RMa	56.7	70.15	32.71	77.4	25
JMa	56.7	-2.69	77.35	77.4	92
GMa	56.7	-73.6	23.92	77.4	162
G50BMa	56.7	-71.24	-30.23	77.4	203
BMa	56.7	2.7	-77.34	77.4	272
B50RMa	56.7	63.4	-44.38	77.4	325
NMa	18.01	0.0	0.0	0.0	0
WMa	95.41	0.0	0.0	0.0	0
RCIE	39.92	58.74	27.99	65.07	25
JCIE	81.26	-2.88	71.56	71.62	92
GCIE	52.23	-42.41	13.6	44.55	162
BCIE	30.57	1.41	-46.46	46.49	272



CIELAB-Helligkeit L^*

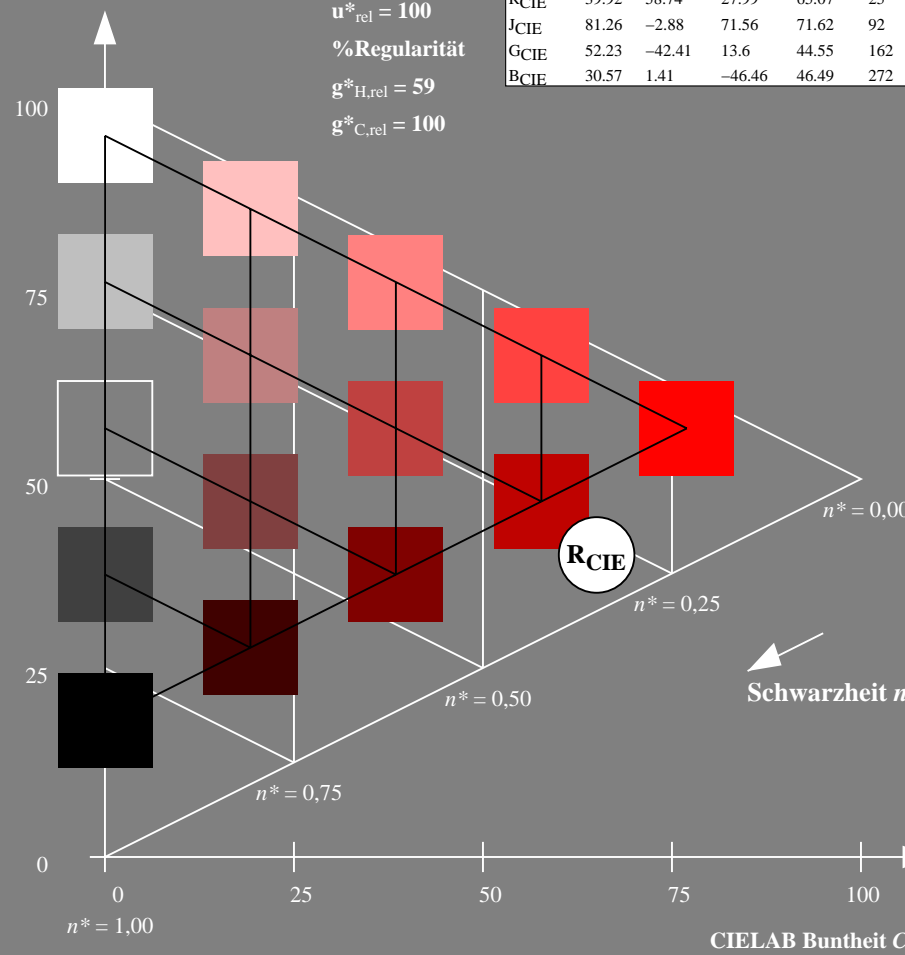
%Umfang

$u_{rel}^* = 100$

%Regularität

$g_{H,rel}^* = 59$

$g_{C,rel}^* = 100$



VG430-7, 5 stufige Reihen für konstanten CIELAB Buntton 25/360 = 0.071 (links)

Ausgabe: Farbmétrisches Offset-Reflektiv-System ORS18

für Buntton $h^* = lab^*h = 25/360 = 0.071$

LAB*LCH, LAB*NCH

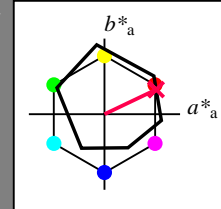
D65: Buntton R

LCH*Ma: 48 76 25

olv*Ma: 1.0 0.0 0.3

ORS18; adaptierte CIELAB-Daten

	$L^*=L_a^*$	a_a^*	b_a^*	$C_{ab,a}^*$	$h_{ab,a}^*$
OMa	47.94	65.39	50.52	82.63	38
YMa	90.37	-10.26	91.75	92.32	96
LMa	50.9	-62.83	34.96	71.91	151
CMa	58.62	-30.34	-45.01	54.3	236
VMa	25.72	31.1	-44.4	54.22	305
MMa	48.13	75.28	-8.36	75.74	354
NMa	18.01	0.0	0.0	0.0	0
WMa	95.41	0.0	0.0	0.0	0
RCIE	39.92	58.66	26.98	64.57	25
JCIE	81.26	-2.16	67.76	67.79	92
GCIE	52.23	-42.25	11.76	43.87	164
BCIE	30.57	1.15	-46.84	46.86	271



CIELAB-Helligkeit L^*

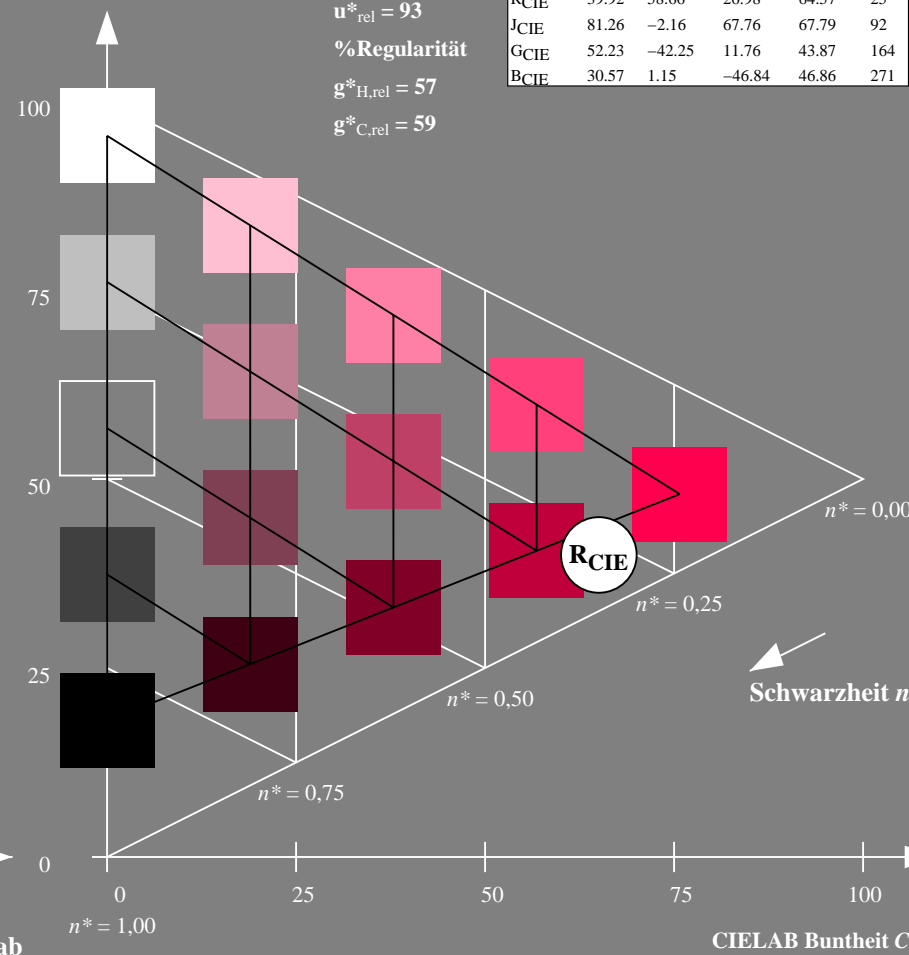
%Umfang

$u_{rel}^* = 93$

%Regularität

$g_{H,rel}^* = 57$

$g_{C,rel}^* = 59$



5 stufige Reihen für konstanten CIELAB Buntton 25/360 = 0.071 (rechts)

BAM-Prüfvorlage VG43; Farbmétrik-Systeme CNS18 & ORS18input: olv* setrgbcolor

D65: Koordinatensysteme; 5stufige Farbreihen für 10 Bunttöne output: no change compared to input

Eingabe: Farbmétrisches Natürliches-Reflektiv-System CNS18

für Buntton $h^* = lab^*h = 92/360 = 0.256$

LAB*LCH, LAB*NCH

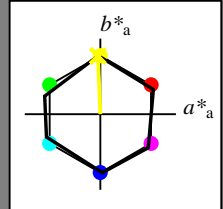
D65: Buntton J

LCH*Ma: 57 77 92

olv*Ma: 0.99 1.0 0.0

CNS18; adaptierte CIELAB-Daten

	$L^*=L_a^*$	a_a^*	b_a^*	$C_{ab,a}^*$	$h_{ab,a}^*$
RMa	56.7	70.15	32.71	77.4	25
JMa	56.7	-2.69	77.35	77.4	92
GMa	56.7	-73.6	23.92	77.4	162
G50B _{Ma}	56.7	-71.24	-30.23	77.4	203
B _{Ma}	56.7	2.7	-77.34	77.4	272
B50R _{Ma}	56.7	63.4	-44.38	77.4	325
N _{Ma}	18.01	0.0	0.0	0.0	0
W _{Ma}	95.41	0.0	0.0	0.0	0
RCIE	39.92	58.74	27.99	65.07	25
JCIE	81.26	-2.88	71.56	71.62	92
GCIE	52.23	-42.41	13.6	44.55	162
BCIE	30.57	1.41	-46.46	46.49	272



CIELAB-Helligkeit L^*

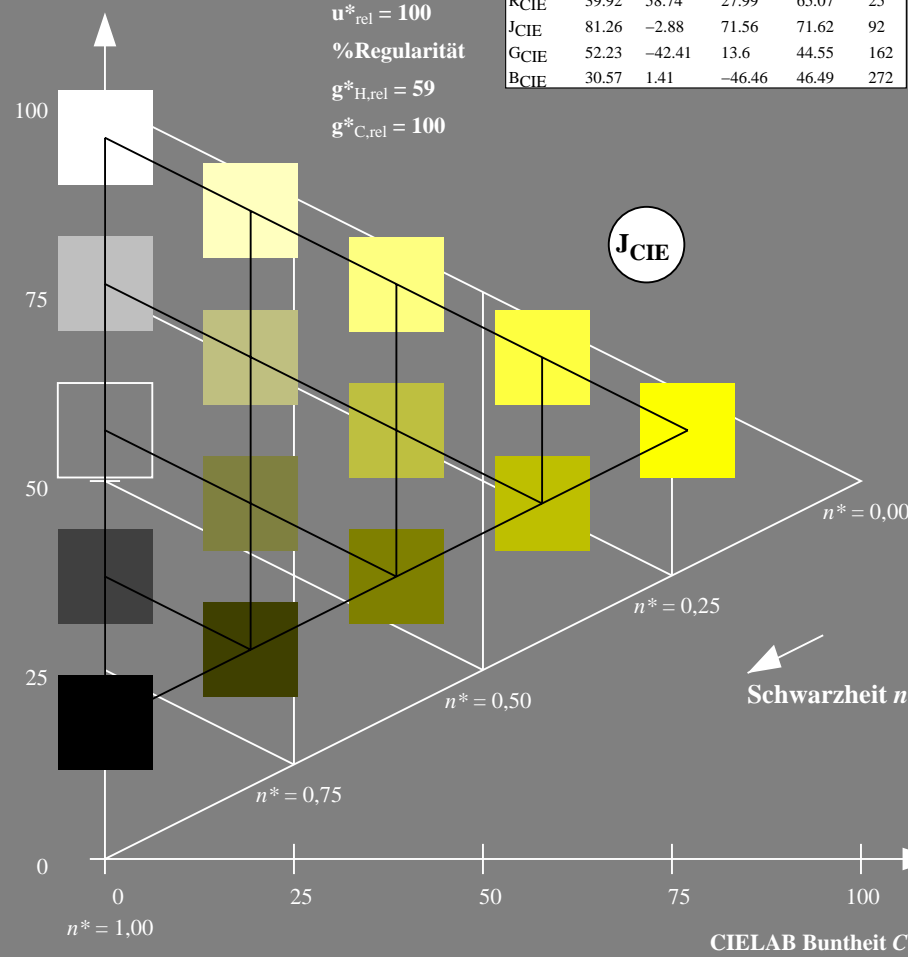
%Umfang

$u_{rel}^* = 100$

%Regularität

$g_{H,rel}^* = 59$

$g_{C,rel}^* = 100$



VG430-7, 5 stufige Reihen für konstanten CIELAB Buntton $92/360 = 0.256$ (links)

Ausgabe: Farbmétrisches Offset-Reflektiv-System ORS18

für Buntton $h^* = lab^*h = 92/360 = 0.256$

LAB*LCH, LAB*NCH

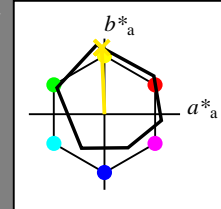
D65: Buntton J

LCH*Ma: 87 88 92

olv*Ma: 1.0 0.91 0.0

ORS18; adaptierte CIELAB-Daten

	$L^*=L_a^*$	a_a^*	b_a^*	$C_{ab,a}^*$	$h_{ab,a}^*$
OMa	47.94	65.39	50.52	82.63	38
YMa	90.37	-10.26	91.75	92.32	96
LMa	50.9	-62.83	34.96	71.91	151
CMa	58.62	-30.34	-45.01	54.3	236
VMa	25.72	31.1	-44.4	54.22	305
MMa	48.13	75.28	-8.36	75.74	354
N _{Ma}	18.01	0.0	0.0	0.0	0
W _{Ma}	95.41	0.0	0.0	0.0	0
RCIE	39.92	58.66	26.98	64.57	25
JCIE	81.26	-2.16	67.76	67.79	92
GCIE	52.23	-42.25	11.76	43.87	164
BCIE	30.57	1.15	-46.84	46.86	271



CIELAB-Helligkeit L^*

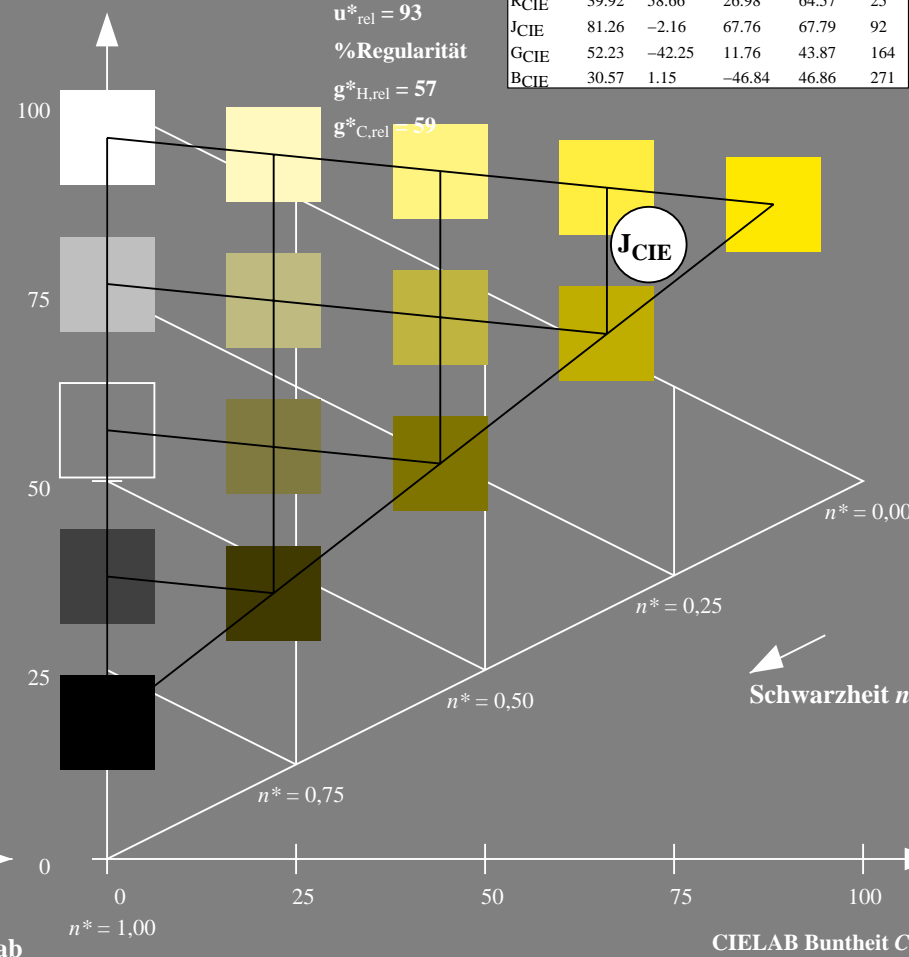
%Umfang

$u_{rel}^* = 93$

%Regularität

$g_{H,rel}^* = 57$

$g_{C,rel}^* = 59$



5 stufige Reihen für konstanten CIELAB Buntton $92/360 = 0.256$ (rechts)

BAM-Prüfvorlage VG43; Farbmétrik-Systeme CNS18 & ORS18input: olv* setrgbcolor

D65: Koordinatensysteme; 5stufige Farbreihen für 10 Bunttöne output: no change compared to input

Eingabe: Farbmétrisches Natürliches-Reflektiv-System CNS18

für Buntton $h^* = lab^*h = 162/360 = 0.451$

LAB*LCH, LAB*NCH

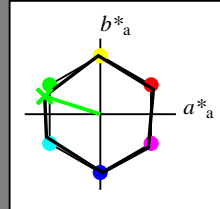
D65: Buntton G

LCH*Ma: 57 77 162

olv*Ma: 0.0 1.0 0.01

CNS18; adaptierte CIELAB-Daten

	$L^*=L_a^*$	a_a^*	b_a^*	$C_{ab,a}^*$	$h_{ab,a}^*$
RMa	56.7	70.15	32.71	77.4	25
JMa	56.7	-2.69	77.35	77.4	92
GMa	56.7	-73.6	23.92	77.4	162
G50B _{Ma}	56.7	-71.24	-30.23	77.4	203
B _{Ma}	56.7	2.7	-77.34	77.4	272
B50R _{Ma}	56.7	63.4	-44.38	77.4	325
N _{Ma}	18.01	0.0	0.0	0.0	0
W _{Ma}	95.41	0.0	0.0	0.0	0
RCIE	39.92	58.74	27.99	65.07	25
JCIE	81.26	-2.88	71.56	71.62	92
GCIE	52.23	-42.41	13.6	44.55	162
BCIE	30.57	1.41	-46.46	46.49	272



CIELAB-Helligkeit L^*

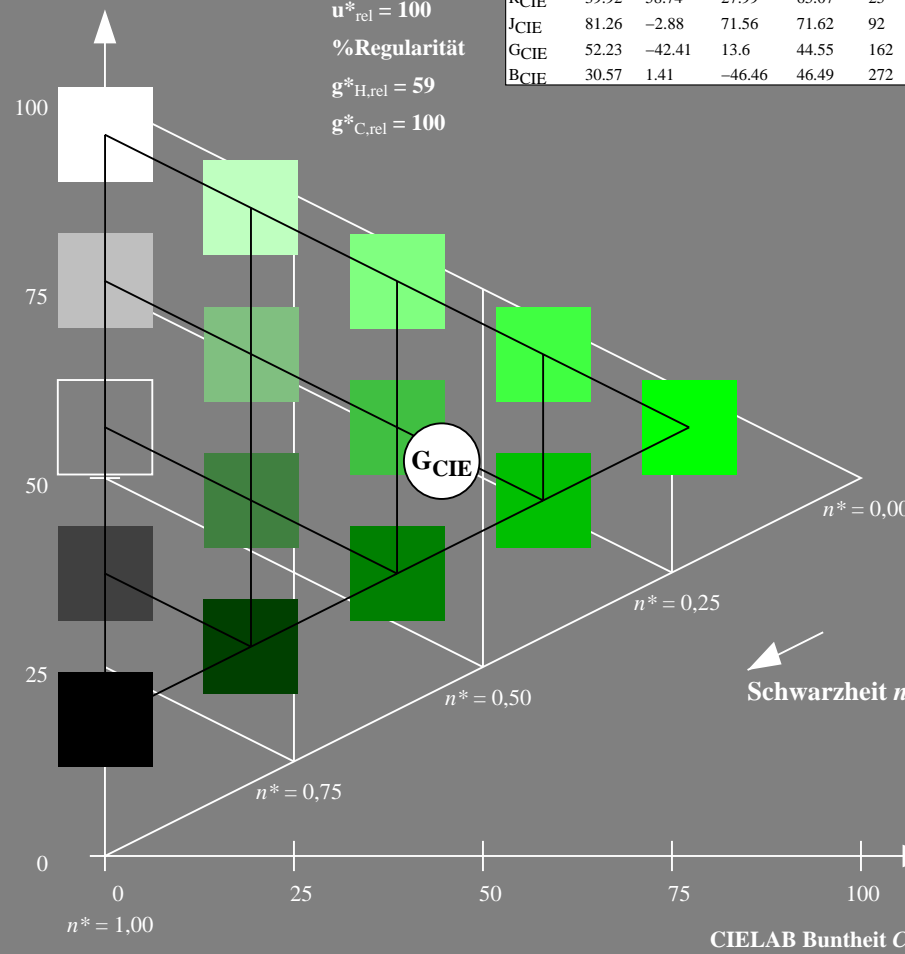
%Umfang

$u_{rel}^* = 100$

%Regularität

$g_{H,rel}^* = 59$

$g_{C,rel}^* = 100$



Ausgabe: Farbmétrisches Offset-Reflektiv-System ORS18

für Buntton $h^* = lab^*h = 162/360 = 0.451$

LAB*LCH, LAB*NCH

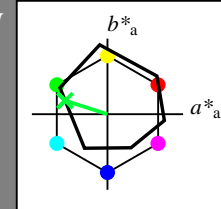
D65: Buntton G

LCH*Ma: 53 59 162

olv*Ma: 0.0 1.0 0.21

ORS18; adaptierte CIELAB-Daten

	$L^*=L_a^*$	a_a^*	b_a^*	$C_{ab,a}^*$	$h_{ab,a}^*$
OMa	47.94	65.39	50.52	82.63	38
YMa	90.37	-10.26	91.75	92.32	96
LMa	50.9	-62.83	34.96	71.91	151
CMa	58.62	-30.34	-45.01	54.3	236
VMa	25.72	31.1	-44.4	54.22	305
MMa	48.13	75.28	-8.36	75.74	354
N _{Ma}	18.01	0.0	0.0	0.0	0
W _{Ma}	95.41	0.0	0.0	0.0	0
RCIE	39.92	58.66	26.98	64.57	25
JCIE	81.26	-2.16	67.76	67.79	92
GCIE	52.23	-42.25	11.76	43.87	164
BCIE	30.57	1.15	-46.84	46.86	271



CIELAB-Helligkeit L^*

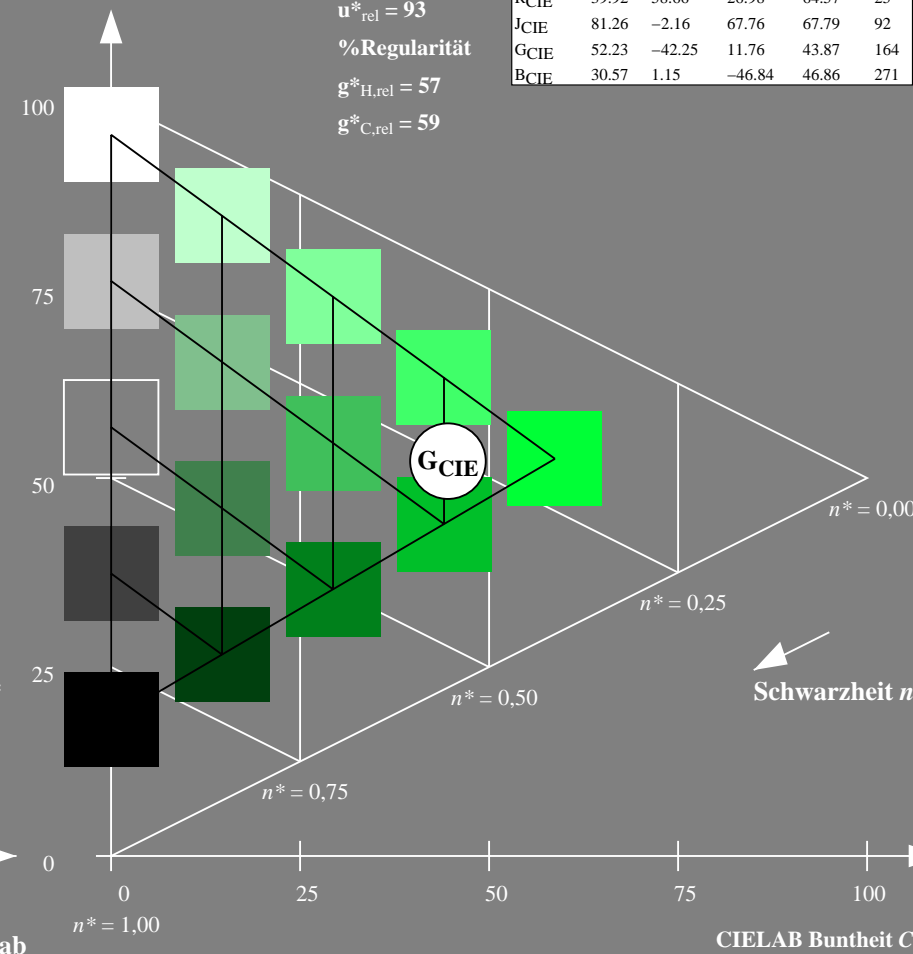
%Umfang

$u_{rel}^* = 93$

%Regularität

$g_{H,rel}^* = 57$

$g_{C,rel}^* = 59$



VG430-7, 5 stufige Reihen für konstanten CIELAB Buntton $162/360 = 0.451$ (links)

5 stufige Reihen für konstanten CIELAB Buntton $162/360 = 0.451$ (rechts)

BAM-Prüfvorlage VG43; Farbmétrik-Systeme CNS18 & ORS18input: olv* setrgbcolor

D65: Koordinatensysteme; 5stufige Farbreihen für 10 Bunttöne output: no change compared to input

Eingabe: Farbmimetrisches Natürliches-Reflektiv-System CNS18

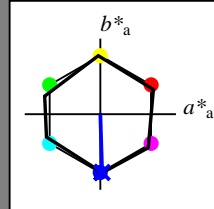
für Buntton $h^* = lab^*h = 272/360 = 0.755$

LAB*LCH, LAB*NCH

D65: Buntton B

LCH*Ma: 57 77 272

olv*Ma: 0.0 0.0 1.0



CNS18; adaptierte CIELAB-Daten

	$L^*=L_a^*$	a_a^*	b_a^*	$C_{ab,a}^*$	$h_{ab,a}^*$
RMa	56.7	70.15	32.71	77.4	25
JMa	56.7	-2.69	77.35	77.4	92
GMa	56.7	-73.6	23.92	77.4	162
G50B _{Ma}	56.7	-71.24	-30.23	77.4	203
B _{Ma}	56.7	2.7	-77.34	77.4	272
B50R _{Ma}	56.7	63.4	-44.38	77.4	325
N _{Ma}	18.01	0.0	0.0	0.0	0
W _{Ma}	95.41	0.0	0.0	0.0	0
RCIE	39.92	58.74	27.99	65.07	25
JCIE	81.26	-2.88	71.56	71.62	92
GCIE	52.23	-42.41	13.6	44.55	162
BCIE	30.57	1.41	-46.46	46.49	272

CIELAB-Helligkeit L^*

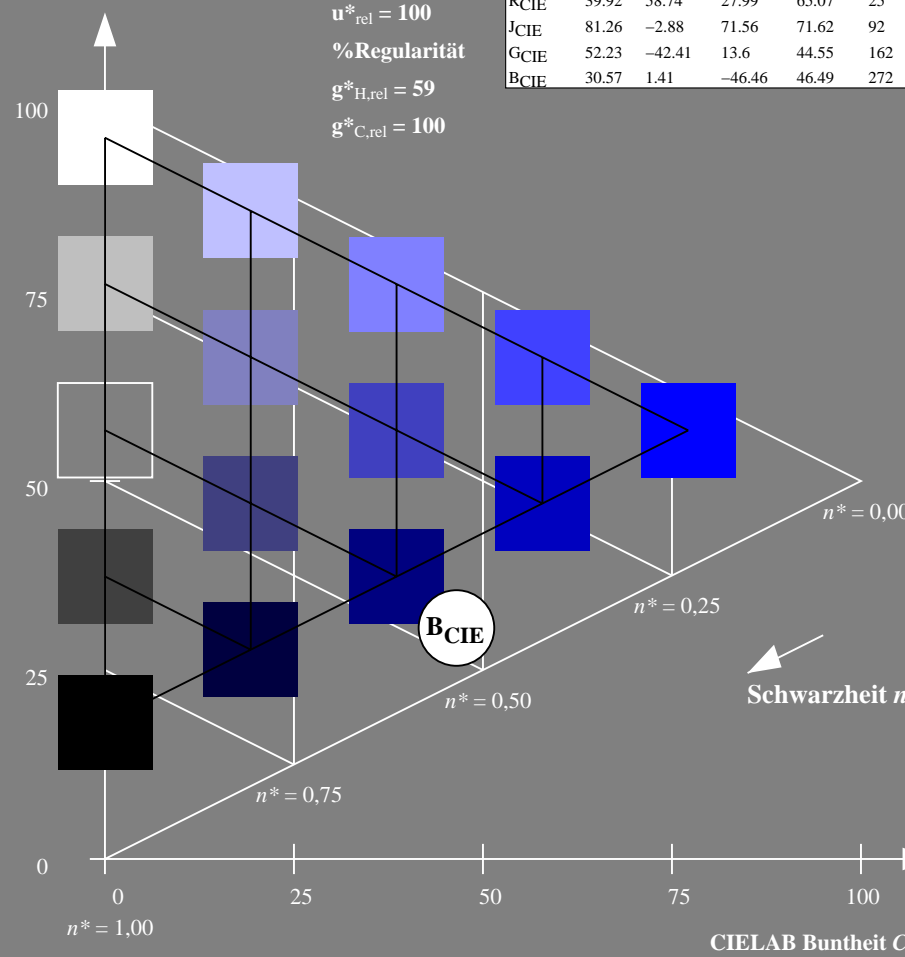
%Umfang

$u_{rel}^* = 100$

%Regularität

$g_{H,rel}^* = 59$

$g_{C,rel}^* = 100$



VG430-7, 5 stufige Reihen für konstanten CIELAB Buntton $272/360 = 0.755$ (links)

Ausgabe: Farbmimetrisches Offset-Reflektiv-System ORS18

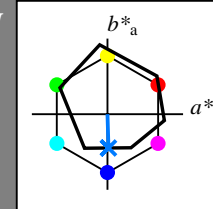
für Buntton $h^* = lab^*h = 272/360 = 0.755$

LAB*LCH, LAB*NCH

D65: Buntton B

LCH*Ma: 42 45 272

olv*Ma: 0.0 0.48 1.0



ORS18; adaptierte CIELAB-Daten

	$L^*=L_a^*$	a_a^*	b_a^*	$C_{ab,a}^*$	$h_{ab,a}^*$
OMa	47.94	65.39	50.52	82.63	38
YMa	90.37	-10.26	91.75	92.32	96
LMa	50.9	-62.83	34.96	71.91	151
CMa	58.62	-30.34	-45.01	54.3	236
VMa	25.72	31.1	-44.4	54.22	305
MMa	48.13	75.28	-8.36	75.74	354
N _{Ma}	18.01	0.0	0.0	0.0	0
W _{Ma}	95.41	0.0	0.0	0.0	0
RCIE	39.92	58.66	26.98	64.57	25
JCIE	81.26	-2.16	67.76	67.79	92
GCIE	52.23	-42.25	11.76	43.87	164
BCIE	30.57	1.15	-46.84	46.86	271

CIELAB-Helligkeit L^*

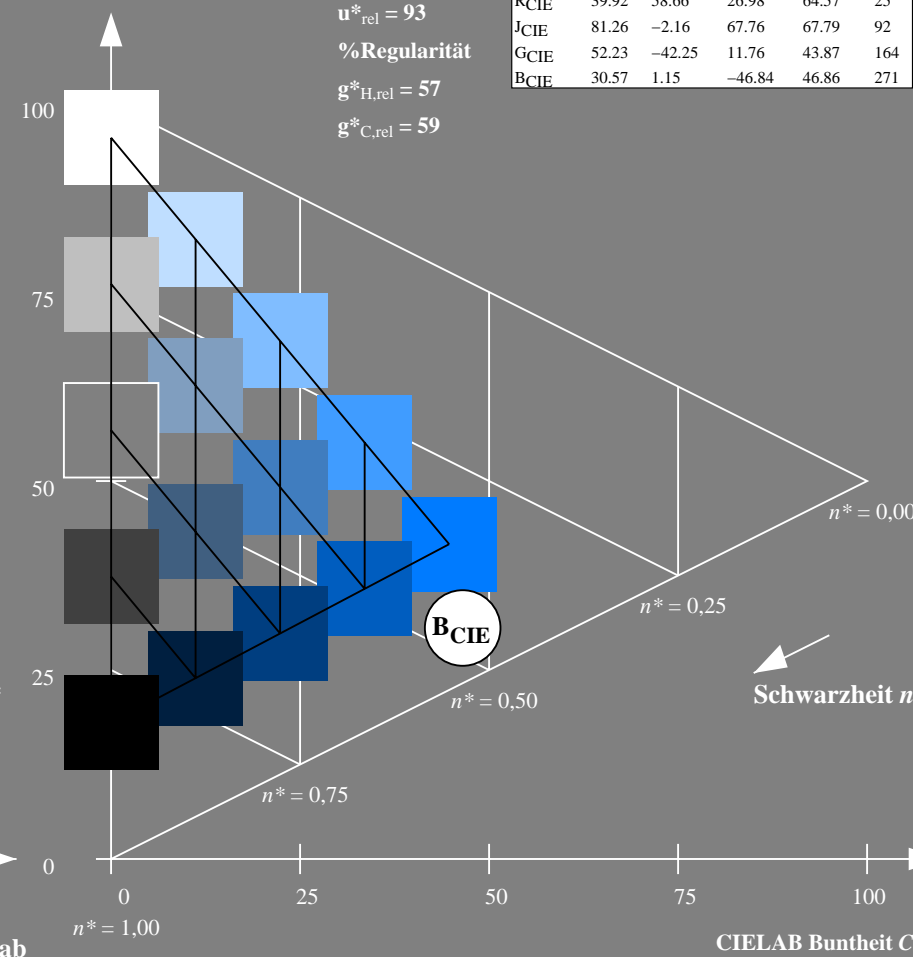
%Umfang

$u_{rel}^* = 93$

%Regularität

$g_{H,rel}^* = 57$

$g_{C,rel}^* = 59$



5 stufige Reihen für konstanten CIELAB Buntton $272/360 = 0.755$ (rechts)

BAM-Prüfvorlage VG43; Farbmimetrik-Systeme CNS18 & ORS18input: olv* setrgbcolor

D65: Koordinatensysteme; 5stufige Farbreihen für 10 Bunttöne output: no change compared to input